

ТЕРМОЭДС СИСТЕМЫ $Tm_{1-x}Sm_xS$

© В.В.Попов, И.А.Смирнов, А.В.Голубков,
Л.С.Парфеньева, А.Г.Касымова

Физико-технический институт им. А.Ф. Иоффе Российской академии наук,
194021 Санкт-Петербург, Россия
(Поступила в Редакцию 20 декабря 1995 г.)

В интервале температур 10–330 К исследованы температурные зависимости термоэдс $\alpha(T)$ системы твердых растворов $Tm_{1-x}Sm_xS$. В этой системе при $x = 0.25$ происходит электронный фазовый переход (ЭФП) полупроводник–металл. Во всех составах системы наблюдается максимум $|\alpha(T)|$ при $T \sim 25$ К, который объясняется вкладом термоэдс фононного увлечения. Оценка эффективной массы электронов проводимости m^* из диффузионной составляющей термоэдс дает величину порядка массы свободного электрона m_0 с составах до ЭФП ($x > 0.75$) и $m^* > 10m_0$ в металлических составах с $x < 0.75$. Аномально большая величина m^* является следствием образования пика плотности состояний на уровне Ферми в металлической фазе $Tm_{1-x}Sm_xS$ с переменной валентностью ионов Sm^{2+} , которая с увеличением содержания Tm переходит в концентрированную Кондо-систему на основе TmS. При этом из-за рассеяния электронов проводимости в тяжелую зону в зависимости $\alpha(T)$ появляется положительная составляющая, приводящая к смене знака термоэдс при $T > 100$ К в составах с $x < 0.3$.

Исследование твердых растворов типа $Ln_{1-x}Sm_xS$, где Ln — редкоземельный элемент (РЗЭ), представляет большой интерес, так как в зависимости от состава в них может меняться валентность РЗЭ, связанная с нестабильностью их внутренней f -оболочки. Одним из таких твердых растворов является $Tm_{1-x}Sm_xS$, электрические и тепловые свойства которого изучались в [1–3]. Оба компонента этого сплава обладают аномальными свойствами: TmS представляет собой концентрированную Кондо-систему [4], SmS — полупроводник, который при определенных условиях (давление, введение РЗЭ с меньшим, чем у Sm ионным радиусом) может переходить в металлическую фазу с недочисленной (+2.6) переменной валентностью ионов Sm [5].

В настоящей работе проведено исследование термоэдс системы $Tm_{1-x}Sm_xS$. Номера образцов и их параметры приведены в таблице. Видно, что с ростом содержания Tm в интервале составов $0.75 < x < 1$ концентрация электронов проводимости возрастает. При $x = 0.75$ происходит скачкообразный изоструктурный электронный фазовый переход (ЭФП) в состояние с переменной валентностью Sm^{2+} , которое характеризуется металлической концентрацией электронов проводимости $n = 1.2 \cdot 10^{22} \text{ см}^{-3}$. В интервале составов $0 < x < 0.75$ n почти не меняется.

Параметры исследованных образцов

Номер образцов	Состав (x)	Концентрация электронов $n, \text{см}^{-3}$	Эффективная масса m^*/m_0 для $r = 2$	Эффективная масса m^*/m_0 для $r = 1/2$
1	0.9	$8.3 \cdot 10^{19}$	0.6	1.3
2	0.86	$1.6 \cdot 10^{20}$	0.6	1.2
3*	0.84	$4.8 \cdot 10^{20}$	0.7	1.2
4*	0.82	$1.2 \cdot 10^{21}$	0.9	1.8
5	0.78	$1.3 \cdot 10^{21}$	0.9	1.9
6	0.72	$1.2 \cdot 10^{22}$	—	> 10
7	0.5	$1.2 \cdot 10^{22}$	—	> 20
8-11	0.3-0	$1.2 \cdot 10^{22}$	—	—

* Зависимости $\alpha(T)$ для образцов № 3 и 4 на рис. 1 не приведены

На рис. 1 приведены зависимости термоэдс от температуры $\alpha(T)$ для составов до ЭФП ($0.75 < x < 1$), а на рис. 2 — после ЭФП ($0 < x < 0.75$). Видно, что при $T \sim 25\text{ К}$ зависимости $\alpha(T)$ во всем диапазоне x имеют отрицательный пик, а затем с повышением температуры в составах с $x > 0.75$ переходят к явно выраженной линейной зависимости $\alpha \sim T$ (пунктирные линии на рис. 1). При $T > 80\text{ К}$ наклон кривых $\alpha(T)$ меняется на более слабый. Из рис. 2 видно, что в металлических составах при повышении температуры начинается перегиб $\alpha(T)$ в сторону положительных значений, и в образцах с $x < 0.3$ при $T > 100\text{ К}$ происходит переход к положительной величине термоэдс.

Анализ полной зависимости $\alpha(T)$ удобно проводить, представив ее в виде суммы трех слагаемых (смысл каждого слагаемого будет раскрыт ниже)

$$\alpha = -(\alpha_D^{(1)} + \alpha_p) + \alpha_D^{(2)}. \quad (1)$$

Линейная составляющая, обозначенная как $\alpha_D^{(1)}$, для составов до ЭФП представляет собой нормальную диффузионную термоэдс, характерную для вырожденных полупроводников и металлов [6].

$$\alpha_D^{(1)} = \frac{\pi^2 k}{3|e|} \left(\frac{kT}{\varepsilon_F} \right) (r + 1). \quad (2)$$

Ее величина определяется параметром рассеяния r и (через энергию Ферми $\varepsilon_F = (\pi^2 \hbar^2 / 2m^*) (3n/\pi)^{2/3}$) концентрацией электронов. Отсюда, задавшись значением r и известной концентрацией, можно определить величину эффективной массы m^* . В таблице приведены результаты такого расчета для различных параметров рассеяния. Видно, что значение $r = 2$ дает хорошее согласие с величиной эффективной массы $m^*/m_0 = 0.78$, полученной ранее для полупроводникового SmS [7]. Такое значение параметра рассеяния использовалось при расчете термоэдс в одновалентных металлах и связывалось с рассеянием

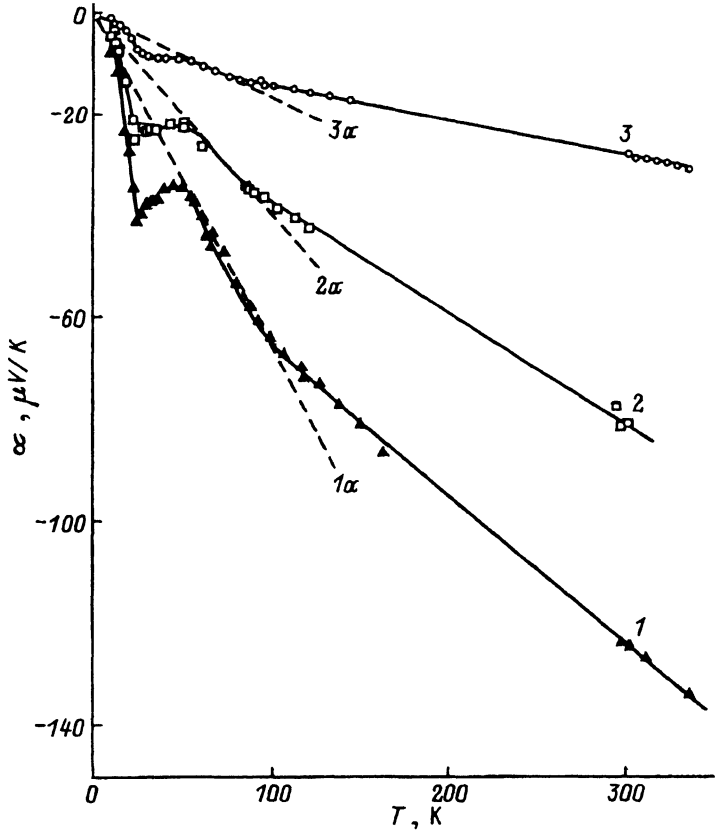


Рис. 1. Зависимости термоэдс от температуры с составах $Tm_{1-x}Sm_xS$ с $x < 0.75$. Штриховые линии — диффузионные составляющие $\alpha_D^{(1)}$. x : 1, 1 α — 0.9, 2, 2 α — 0.86, 3, 3 α — 0.78.

на тепловых колебаниях решетки [8]. В то же время при интерпретации экспериментальных данных в ряде работ для SmS бралось значение $m^*/m_0 \sim 1.3$ [2,9], что в нашем случае согласуется с параметром $r = 1/2$. Такая величина r может быть обусловлена в первую очередь межзонным рассеянием носителей тока $s-d$ -типа при квадратичном законе дисперсии в d -зоне [6]. Анализ поведения числа Лоренца показывает, что в металлических сульфидах редкоземельных элементов $s-d$ -рассеяние играет существенную роль [10]. Поскольку в рассеяние электронов вносят вклад как рассеяние на тепловых колебаниях решетки, так и $s-d$ -рассеяние, величина эффективной массы в составах $Tm_{1-x}Sm_xS$ с $0.75 < x < 1$ должна быть порядка свободной массы электрона m_0 . Из таблицы видно, что по мере приближения к $x = 0.75$ эффективная масса постепенно растет, что, по-видимому, связано с заполнением d -зоны при росте концентрации носителей.

С дальнейшим увеличением содержания Tm после ЭФП ($x < 0.75$) диффузионная составляющая термоэдс резко возрастает, несмотря на скачкообразный рост концентрации электронов (штриховые линии на рис. 2). Такой рост $\alpha_D^{(1)}$ обусловлен в первую очередь увеличением

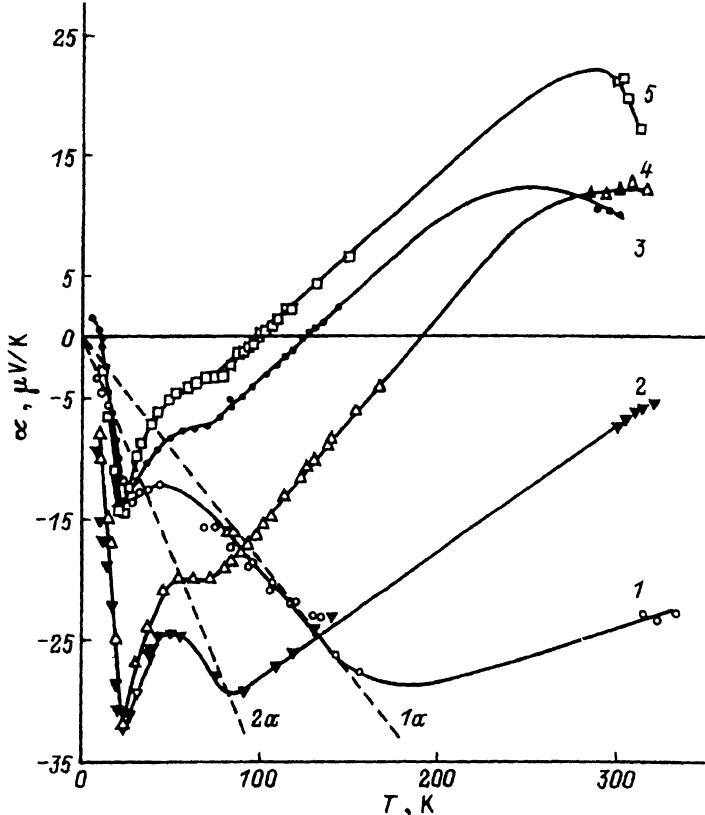


Рис. 2. Зависимости термоэдс от температуры с составах $Tm_{1-x}Sm_xS$ с $x > 0.75$. Штриховые линии — диффузионные составляющие $\alpha_D^{(1)}$. x : 1, 1а — 0.72, 2, 2а — 0.5, 3 — 0.3, 4 — 0.1, 5 — 0.

эффективной массы электронов проводимости из-за образования узкой f -зоны на уровне Ферми при ЭФП в состояние с переменной валентностью $Tm_{1-x}Sm_xS$. Хотя линейный участок $\alpha_D^{(1)}$ в чистом виде на рис. 2 не просматривается из-за усиления положительной составляющей ($\alpha_D^{(2)}$ в (1)), можно оценить минимальную величину m^*/m_0 для тех составов, в которых линейный участок зависимости $\alpha(T)$ еще не полностью подавлен. Из таблицы видно, что эффективная масса для составов с $x = 0.72$ и 0.5 возросла более чем на порядок. С дальнейшим ростом содержания Tm в металлической фазе $Tm_{1-x}Sm_xS$ происходит переход к концентрированной Кондо-системе (при $x = 0.1$), которая также характеризуется пиком плотности состояний на уровне Ферми (резонанс Абрикосова–Сула [11]).

Возникновение положительной составляющей $\alpha_D^{(2)}$ можно понять, если воспользоваться двухзонной моделью для термоэдс [12]. В нашем случае, после ЭФП, у металлических составов с переменной валентностью в $s-d$ -зоне проводимости появляется узкая f -зона с большой плотностью состояний. Суммарная диффузионная термоэдс в этом

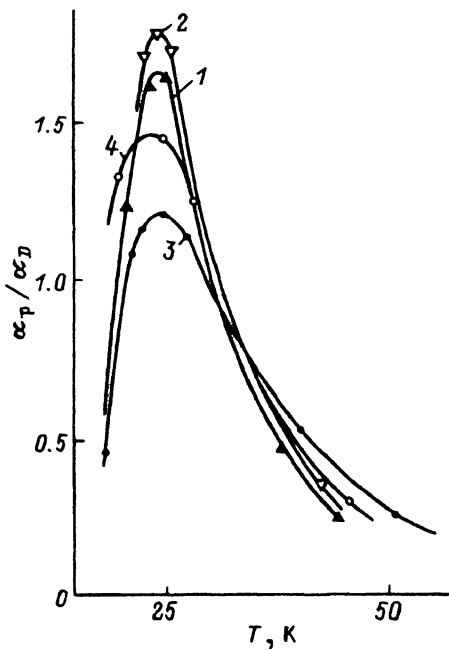


Рис. 3. Температурная зависимость отношения фононной и диффузионной составляющих термоэдс $Tm_{1-x}Sm_xS$ с $x < 0.75$.

x : 1 — 0.9, 2 — 0.86, 3 — 0.78, 4 — 0.72.

случае будет иметь вид

$$\alpha_D = \frac{\sigma_{sd}\alpha_{sd} + \sigma_f\alpha_f}{\sigma_{sd} + \sigma_f}, \quad (3)$$

где σ_{sd} , σ_f , α_{sd} , α_f — парциальные проводимости и термоэдс для $s-d$ -и f -зон. Здесь мы пренебрегаем различием свойств носителей в s -и d -зонах и объединяем их в одну группу, учитывая сильное различие свойств f -зоны по сравнению с s - и d -зонами. Из-за большой плотности состояний и малой подвижности в f -зоне можно считать, что $\sigma_{sd} \gg \sigma_f$.

В двухзонной модели такого типа

$$\alpha_D = \alpha_{sd} = -\frac{\pi^2 k^2 T}{3|e|} \left(\frac{3}{2\varepsilon_F} - \frac{1}{g_F(\varepsilon)} \frac{dg_F(\varepsilon)}{d\varepsilon} \right)_{\varepsilon=\varepsilon_F} = -\alpha_D^{(1)} + \alpha_D^{(2)}, \quad (4)$$

т.е. α_D состоит из двух слагаемых, причем последнее ($\alpha_D^{(2)}$) определяется производной от плотности состояний f -зоны $g_F(\varepsilon)$ на уровне Ферми и может принимать как положительное, так и отрицательное значение в зависимости от положения уровня Ферми относительно тяжелой зоны. При росте концентрации Тм в металлических составах $Tm_{1-x}Sm_xS$ происходит переход от системы с переменной валентностью (уровень Ферми находится внутри узкой f -зоны) к концентрированной Кондо-системе (уровень Ферми связан с пиком плотности состояний, образовавшимся вследствие резонанса Абрикосова-Сула).

Кроме того, с изменением состава $Tm_{1-x}Sm_xS$ происходит изменение постоянной решетки. Оба эти фактора могут менять плотность состояний узкой зоны с тяжелыми носителями и сдвигать уровень Ферми в пределах этой зоны, что, по-видимому, и приводит к росту положительной составляющей термоэдс $\alpha_D^{(2)}$ с уменьшением x .

Характерной особенностью термоэдс системы $Tm_{1-x}Sm_xS$ является наличие отрицательного пика при $T \sim 25$ К. Его можно приписать термоэдс фононного увлечения α_p . На это прежде всего указывает типичное для такого эффекта совпадение температуры экстремума $\alpha(T)$ с температурой максимума фононной теплопроводности [6]. С другой стороны, взаимодействие фононной и электронной систем, приводящее к возникновению α_p при низких температурах, характерно для большинства проводников, особенно с большими эффективными массами. По оценке Блатта [13], для меди $\alpha_p/\alpha_D \sim 1$ при температуре максимума. Можно оценить эту величину для составов нашей системы. Рассчитывая фононную составляющую в районе максимума как $\alpha_p = \alpha - \alpha_D^{(1)}$ (где $\alpha_D^{(1)}$ — штриховые линии на рис. 1, 2), получаем для α_p/α_D зависимости, показанные на рис. 3. Видно, что для всех образцов, где линейный участок $\alpha_D^{(1)}$ достаточно хорошо просматривается, эти отношения порядка единицы и близки между собой. Универсальность поведения составляющей α_p во всех составах системы $Tm_{1-x}Sm_xS$ с различной концентрацией носителей и с сильно отличающимися зонными структурами также свидетельствует в пользу «фононного» происхождения низкотемпературного пика термоэдс.

Исследования, проведенные в этой работе, стали возможными благодаря поддержке гранта № NUK 300 Международного научного фонда.

Список литературы

- [1] Попов В.В., Касымова А.Г., Буттаев Б.М., Голубков А.В., Смирнов И.А. ФТТ **35**, 11, 2935 (1993).
- [2] Smirnov I.A., Popov V.V., Goltsev A.V., Golubkov A.V., Shaburov V.A., Smirnov Yu.P., Kasymova A.G. J. of Alloys and Compounds **219**, 1-2, 168 (1995).
- [3] Смирнов И.А., Попов В.В., Голубков А.В., Гольцев А.В., Буттаев Б.М. ФТП **29**, 5-6, 857 (1995).
- [4] Буттаев Б.М., Голубков А.В., Гольцев А.В., Смирнов И.А. ФТТ **33**, 12, 3606 (1991).
- [5] Смирнов И.А., Оскотский В.С. УФН **124**, 2, 241 (1978).
- [6] Блатт Ф.Дж., Шредер П.А., Фойлз К.Л., Грейг Д. Термоэлектродвижущая сила металлов. М. (1980).
- [7] Голубков А.В., Гончарова Е.В., Жузе В.П., Манойлова И.Г. ФТТ **7**, 8, 2430 (1965).
- [8] Коломоец Н.В. ЖТФ **28**, 5, 936 (1958).
- [9] Batlog B., Kaldas E., Schlegel A., Wachter P. Phys. Rev. **B14**, 12, 5503 (1976).
- [10] Popov V.V., Kasymova A.G., Golubkov A.V., Smirnov I.A. Properties of *f*-electron compounds / Ed. A. Szytula. Inst.of Physics, Jagellonian University (1994). P. 51.
- [11] Абрикосов А.А. УФН **97**, 3, 403 (1969).
- [12] Коломоец Н.В. ФТТ **8**, 4, 997 (1966).
- [13] Блатт Ф.Дж. Теория подвижности электронов в твердых телах. М.-Л. (1963).